

کنترل یادگیر تکرارشونده مرتبه کسری بهینه برای ربات تک-لینک

ایمان قاسمی^۱، ابوالفضل رنجبر نوعی^۲، سید جلیل ساداتی رستمی^{۳*}

- ۱- کارشناسی ارشد، دانشکده برق و کامپیوتر، دانشگاه صنعتی نوشیروانی، بابل
- ۲- دانشیار، مهندسی برق گرایش کنترل، دانشگاه صنعتی نوشیروانی، بابل
- ۳- استادیار، مهندسی برق گرایش کنترل، دانشگاه صنعتی نوشیروانی، بابل

* بابل، صندوق پستی: 71167-47148 j.sadati@nit.ac.ir

چکیده

در این مقاله، نوع جدیدی از سیستم‌های کنترل یادگیر تکرارشونده مرتبه کسری تحت عنوان کنترل یادگیر تکرارشونده مشتقی مرتبه کسری و کنترل یادگیر تکرارشونده تناسبی-مشتقی مرتبه کسری برای سیستم خطی سازی شده بازوی ربات تک-لینک ارائه می‌شود. در قانون بروزرسانی کنترل یادگیر تکرارشونده مشتقی، آریمو کلاسیک از مشتق مرتبه اول (یاتابع تبدیل s) خطای رديابی استفاده می‌شود. روش ارائه شده در این مقاله برای بروزرسانی قانون کنترل یادگیری تکرارشونده از مشتق مرتبه کسری (یاتابع تبدیل s^α) خطای رديابی استفاده می‌کند. کلید واژگان: سیستم‌های کنترل یادگیر تکرارشونده قانون بروزرسانی کنترل یادگیر تکرارشونده مرتبه کسری نوع D^α و PD^α بازوی ربات تک-لینک بهینه‌سازی مبتنی بر جغرافیای زیستی

برای اولین بار، ابتدا سیستم ربات غیرخطی، با اعمال روش خطی سازی فیدبک ورودی- حالت خطی گشته، سپس به آنالیز و تحلیل همگرایی قانون کنترل یادگیر تکرارشونده نوع PD^α برای سیستم‌های خطی پرداخته می‌شود. در ادامه، یک معیار برای انتخاب بهینه ضرایب کنترل کننده با استفاده از الگوریتم بهینه‌سازی مبتنی بر جغرافیای زیستی ارائه می‌گردد. در قسمت اول شبیه‌سازی، هر دو قانون بروزرسانی کنترل یادگیر تکرارشونده مرتبه کسری (نوع D^α و نوع PD^α) بر روی بازوی ربات تک-لینک خطی شده، پیاده‌سازی می‌شود، و عملکرد این دو کنترل کننده به ازای مقادیر متفاوت α ، نمایش داده می‌شود. در ادامه و جهت بهبود عملکرد سیستم کنترلی حلقه بسته، ضرایب کنترل یادگیر تکرارشونده مرتبه کسری (k_p و k_D) با استفاده از الگوریتم بهینه‌سازی مبتنی بر جغرافیای زیستی، بهینه‌سازی می‌شوند. نهایتاً کنترل یادگیر تکرارشونده پیشنهادی با نوع متدال آن مورد مقایسه قرار می‌گیرد.

اطلاعات مقاله

مقاله پژوهشی کامل
دریافت: ۲۳ مرداد ۱۳۹۴
پذیرش: ۱۰ شهریور ۱۳۹۴
ارائه در سایت: ۲۳ شهریور ۱۳۹۴

Optimal Fractional Order Iterative Learning Control for single-link robot control

Iman Ghasemi¹, Abolfazl Ranjbar Noei², Sayed Jalil Sadati Rostami^{3*}

1- Faculty of Electrical and Computer Engineering, Babol University of Technology, Babol, Iran

2, 3- Department of Electrical Engineering, Babol University of Technology, Babol, Iran

* P.O.B. 71167-47148, Babol, Iran, j.sadati@nit.ac.ir

ARTICLE INFORMATION

Original Research Paper

Received 14 August 2015

Accepted 01 September 2015

Available Online 14 September 2015

Keywords:

Iterative learning control systems
Updating law of iterative learning control
fractional order of type D^α and PD^α
single-link robot arm
Biogeography-based optimization (BBO)

ABSTRACT

In this paper, a new type of iterative learning control systems with fractional order known as iterative learning control with fractional order derivative and iterative learning control with fractional proportional-derivative for linearized systems of single-link robot arm is introduced. First order derivative of classic Arimoto is used for tracking error in updating law of derivative iterative learning control. The suggested method in this paper implements tracking error for updating control law of iterative learning of fractional order. For the first time, nonlinear robot system is linearized by input feedback linearization. Then, convergence analysis of iterative learning control law of type PD^α is studied. In the next step, we define a criteria for parameters optimization of proposed controller by using Biogeography-based optimization algorithm. Both updating laws of fractional order iterative learning control (D^α -type ILC and PD^α -type ILC) are applied on linearized robot arm and performance of both controllers for different value of α is presented. For improving the performance of closed loop system, coefficient of fractional order iterative learning control (proportional k_p and derivative k_D coefficients and α) is optimized by BBO algorithm. Proposed iterative learning control is compared with common type of system.

به سیستم‌های مهندسی نیز بسط دهنده. نیاز به روشی برای بهبود فرآیندهای

تکرارشونده، باعث ایجاد روش‌های جدیدی برای این فرآیندها شد [۱].

الگوریتم کنترل یادگیر تکرارشونده یکی از روش‌های مهم در زمینه

سیستم‌های کنترل یادگیر است که برای اولین بار در سال ۱۹۸۴ توسط

۱- مقدمه

اکثر موجودات زنده (بخصوص انسان) با هر بار تکرار یک عملی، با تجربه‌ای

که از آن عمل بدست می‌آورند تلاش می‌کنند، رفتار بعدی خود را بهبود

بخشند، بنابراین محققین به فکر ابداع برنامه‌ای افتادند تا قدرت یادگیری را

Please cite this article using:

I. Ghasemi, A. Ranjbar Noei, S. J. Sadati Rostami, Optimal Fractional Order Iterative Learning Control for single-link robot control, *Modares Mechanical Engineering*, Vol. 15, No. 10, pp. 259-268, 2015 (In Persian)

برای ارجاع به این مقاله از عبارت ذیل استفاده نمایید:

www.SID.ir

در کنترل مطرح شد. در سال 1999 کنترل کننده‌های PID مرتبه کسری توسط پدلبی معرفی شدند [11]. روش‌های متنوعی برای طراحی این نوع کنترل کننده‌ها معرفی شده و نشان داده شده است که این کنترل کننده‌ها در مقایسه با کنترل کننده‌های PID کلاسیک مقاوم‌تر هستند.

سیستم‌های مبتنی بر تکرار، قابلیت یادگیری و تنظیم ورودی مناسب برای انجام کار تکراری را دارند. لیکن فرآیند تکرار، زمان‌بر و هزینه‌بر است. لذا ارائه الگوریتم‌های کنترل که از تکرار لازم برای تکمیل پروسه یادگیری بکاهند؛ مورد توجه محققین است [12]. اولین مقاله ILC مرتبه کسری در [12]، مورد بررسی قرار می‌گیرد که در آن یک قانون یادگیری مرتبه کسری نوع D^α پیشنهاد شده است و شرایط همگرایی در حوزه فرکانسی که روش مهمی در $FOILC^4$ است را مورد تجزیه و تحلیل قرار داده است.

بهینه‌سازی مبتنی بر زیست جغرافیا، توسط دن سایمون⁵ در سال 2008 ارائه شده است [13]. تکنیک BBO یک الگوریتم بهینه‌سازی جهانی جدید بر پایه تئوری زیست جغرافیا است که به مطالعه توزیع جغرافیایی ارگانیزم‌های زیستی می‌پردازد. مدل‌های ریاضی زیست جغرافیا، چگونگی مهاجرت گونه‌ها از یک جزیره به جزیره دیگر، چگونگی ظهور یک گونه‌ی جدید، و نحوه انتراض یک گونه را تشریح می‌کند. سایمون در [14]، توسط نسخه‌ای جدید به بررسی بیشتر و ساده‌تری از الگوریتم BBO با استفاده از تئوری احتمالات پرداخت. از دیگر کاربردهای بهینه‌سازی مبتنی بر زیست جغرافیا می‌توان به کاهش زمان تخمین حرکت در فیلم [15]، گسترش دینامیکی شبکه‌های حسگر بی‌سیم [16]، در سیستم‌های قدرت برای حل مسائل توزیع اقتصادی بار [17] و پخش بار بهینه [18] اشاره کرد.

در این مقاله، ابتدا سیستم غیرخطی بازوی ربات تک-لینک با روش خطی‌سازی فیدبکی، خطی شده، و سپس تجزیه و تحلیل همگرایی یک قانون بروزرسانی کنترل یادگیر تکرارشونده نوع PD^α برای سیستم‌های خطی ارائه می‌گردد. در نهایت، برای بهبود عملکرد سیستم کنترل یادگیر ارائه شده ضرایب کنترل کننده با استفاده از الگوریتم بهینه‌سازی مبتنی بر زیست جغرافیا، برای هر دو قانون کنترل یادگیر تکرارشونده نوع D^α و نوع PD^α ارائه شده بهینه‌سازی می‌شود و در نتیجه با قانون یادگیری تکرارشونده مرتبه کسری غیربهینه مورد مقایسه قرار می‌گیرد.

2- قانون بروزرسانی کنترل یادگیر تکرارشونده مرتبه صحیح و کسری

ایده اصلی کنترل یادگیر تکرارشونده در شکل 1 نشان داده شده است. فرض می‌شود تمام سیگنال‌های نشان داده شده در فاصله زمانی $t \in [0, t_f]$ تعریف شده‌اند. اندیس k نشان‌دهنده تعداد آزمایش و یا تکرار است. اساس سیستم‌های کنترل یادگیر تکرارشونده این است که، در حین تکرار k ام، بعضی از اطلاعات نظیر سیگنال ورودی $u_k(t)$ ، خروجی واقعی $y_k(t)$ ، و سیگنال خطی رديابی $e_k(t)$ در حافظه ذخیره می‌شوند. این اطلاعات به منظور بهبود ورودی کنترل، و کاهش خطای بدست آمده بین خروجی واقعی و خروجی مطلوب سیستم، و افزایش عملکرد سیستم حلقه بسته، برای به هنگام کردن قانون کنترل یادگیر تکرارشونده در تکرار $1 + k$ ام بکار گرفته می‌شود. ورودی جدید به گونه‌ای باید طراحی شده باشد که باعث شود خطا نسبت به تکرار قبل کمتر شود.

4- Fractional Order Iterative Learning Control

5- Dan Simon

آریموتو و همکارانش مطرح شده است [2]. سیستم‌های کنترل یادگیر تکرارشونده به شاخه کنترل هوشمند تعلق دارد و شامل تکنیک‌های جدیدی برای کنترل فرآیندهای تکرار شونده در یک فاصله زمانی مشخص است، بطوریکه در آنها کنترل کننده از تجربیات تکرارهای گذشته می‌آموزد تا خود را چنان اصلاح نماید که عملکرد سیستم حلقه بسته با افزایش تعداد تکرارها بهبود یابد. بازوهای ربات از آن دسته از فرآیندهایی هستند که باید وظیفه مشخصی را بطور متناوب در یک طول زمانی ثابت و با دقت بالا، تکرار کنند [3,2]. در واقع، در این فرآیندها قرار است یک وظیفه تکراری نظیر جوشکاری، رنگ‌پاشی، برش‌کاری و رسیدن به مسیر مطلوب با دقت بالا، در یک مسیر هندسی از قبل تعیین شده در هر تکرار انجام شود. در چنین فرآیندهایی روش‌های کنترل کلاسیک بدلیل ثابت بودن پارامترهای کنترل کننده، عملکرد یکسانی از خود نشان می‌دهند. چنانچه عملکرد آن راضی‌کننده نباشد (مثلًا خطای حالت ماندگار وجود داشته باشد)، در این صورت این مسئله در تمامی تکرارهای پروسه خود را نشان می‌دهد. لذا با توجه به عدم قطعیت مدل‌سازی و اغتشاشات، کنترل بازخورد نمی‌تواند به تنها‌ی به عملکرد رديابی با دقت بالا دست پیدا کند [4].

به صورت کلی یک قانون بروزرسانی کنترل یادگیر تکرار شونده به صورت زیر است:

$$(1) \quad u_{k+1}(t) = u_k(t) + \Delta u_k(t)$$

در رابطه فوق، $u_{k+1}(t)$ ورودی فرآیند تحت کنترل در تکرار $1 + k$ و $\Delta u_k(t)$ یک عبارت اصلاحی بوده که نحوه بدست آوردن آن نوع قانون کنترل یادگیر تکرار شونده را مشخص می‌کند. تفاوت روش‌های حل ارائه شده برای مسئله کنترل یادگیر تکرار شونده در نحوه تعیین (t) است. شرح کاملی از قانون‌های کنترل یادگیر تکرارشونده مرسوم خطی و غیرخطی در [5] وجود دارد.

محاسبات مرتبه کسری توسط لایبنیتز¹ در سال 1695 معرفی شد [6]. مشتقات مرتبه کسری ابزار بسیار مناسبی برای توصیف خواصی همچون حافظه‌داری و ارث‌پذیری بسیاری از مواد و فرآیندها هستند. همین مسئله سبب شده در سال‌های اخیر تحقیقات گسترده‌ای در زمینه محاسبات مرتبه کسری، به ویژه کنترل کننده‌های مرتبه کسری صورت بگیرد. یکی از دلایل عمده استفاده از کنترل کننده‌های مرتبه کسری انعطاف‌پذیری بیشتر آنها نسبت به کنترل کننده‌های مرتبه صحیح و همچنین امکان کنترل سیستم‌های پیچیده است. به طوریکه کسری بودن دینامیک کنترل کننده باعث افزایش درجه آزادی در انتخاب پارامترهای طراحی می‌شود و این امکان را به طراح می‌دهد که به پاسخ‌های با رفتار مناسب‌تر و نرم‌تر دست یابد. به عبارتی با استفاده از کنترل کننده‌های مرتبه کسری افزایش کارایی و عملکرد کنترل کننده مانند کاهش زمان همگرایی و کاهش خطای حالت ماندگار، محتمل‌تر خواهد بود [6]. پروفسور توستین استفاده از کنترل کننده مشتقی مرتبه کسری برای کنترل موقعیت اشیا بزرگ را در سال 1958 مورد بحث قرار داد که اشباع محرک‌ها نیاز به حد فاز کافی در محدوده و زیر نقطه بحرانی داشت [7]. در سال 1988 با پیشرفت محاسبات مرتبه کسری در مهندسی کنترل یک کنترل کننده مقاوم با نام کرون² توسط اوستالوپ³ معرفی شده است [8]. بعدها، این کنترل کننده در مقالات [10,9] بیشتر مورد مطالعه قرار گرفته و توسعه داده شد. به این ترتیب، نخستین کنترل کننده‌های مرتبه کسری معرفی شدند و کاربرد محاسبات مرتبه کسری

1- Leibniz

2- CRONE: (Commande Robuste d'Ordre Non-Entier)

3- Oustaloup

3- معرفی دینامیک و ساختار حرکتی بازوی رباتیک

از آنجا که کاربردهای بازوی رباتیک معمولاً شامل حرکات تکرار شونده است طبیعی است که برای اصلاح رفتار و افزایش بهره‌وری و دقت آنها از کنترل یادگیر تکرارشونده استفاده کنیم. لذا در این قسمت یک مثال روباتیکی آورده می‌شود که این مثال از مرجع [20] انتخاب شده است. برای مطالعه و شبیه‌سازی از یک مدل هدایت مفصل بازوی ربات تک-لینک استفاده شده است که دینامیک آن در رابطه زیر نشان داده شده است:

$$\ddot{\theta}(t) = \frac{1}{J} (u(t) - F(t)) + \frac{1}{J} \left(\frac{1}{2} m + M \right) g l \times \sin \theta(t) \quad (11)$$

که در آن، $\theta(t)$ موقعیت بازوی ربات، $u(t)$ گشتاور مفصل اعمال شده، $F(t)$ گشتاور اصطکاک، m و l به ترتیب جرم و طول بازوی ربات، M جرم بار نوک، g شتاب گرانش زمین و J اینرسی لحظه‌ای مفصل هستند که مقدار اینرسی مفصل و گشتاور اصطکاک به صورت زیر داده شده است:

$$J = Ml^2 + ml^2/3 \quad (12)$$

$$F(t) = \begin{cases} f^+ + B^+ \dot{\theta}(t) & \text{for } \dot{\theta}(t) > 0 \\ f^- + B^- \dot{\theta}(t) & \text{for } \dot{\theta}(t) \leq 0 \end{cases} \quad (13)$$

در رابطه فوق، f^+ و f^- نشان‌دهنده ضریب اصطکاک کولونی، B^+ و B^- ضریب اصطکاک چسبناک است. بردار حالت سیستم غیرخطی بازوی ربات را به شکل زیر در نظر می‌گیریم:

$$x = [x_1 \quad x_2]^T = [\theta \quad \dot{\theta}]^T \quad (14)$$

که با نوشتن معادلات دینامیکی سیستم بر حسب بردارهای حالت داریم:

$$\begin{aligned} \dot{x} &= f(x) + g(x)u \\ y &= h(x) \end{aligned} \quad (15)$$

که در آن:

$$\begin{aligned} f(x) &= \begin{bmatrix} x_2 \\ -\frac{1}{J} (f + Bx_2) + \frac{1}{J} \left(\frac{1}{2} m + M \right) g l \sin x_1 \end{bmatrix}, \\ g(x) &= \begin{bmatrix} 0 \\ \frac{1}{J} \end{bmatrix}, \quad h(x) = \begin{bmatrix} 1 \\ 0 \end{bmatrix} \end{aligned} \quad (16)$$

تا اینجا معادلات فضای حالت سیستم بازوی ربات بدست آمد در بخش بعد به طراحی یک کنترل‌کننده بر پایه خطی‌سازی کامل معادلات حالت می‌پردازیم.

4- کنترل کننده خطی‌سازی با فیدبک ورودی-حالت

نمودار شکل 2 روش خطی‌سازی ورودی-حالت، را نشان می‌دهد. همانطور که در آن قابل مشاهده است این روش مسائل غیرخطی را در دو مرحله حل می‌کند. اول، یک تبدیل حالت و یک تبدیل ورودی چنان پیدا می‌کنیم که دینامیک غیرخطی تبدیل به یک دینامیک خطی نامتغیر با زمان معادل به شکل آشنای $\dot{z} = Az + Bv$ شود. دوم، از روش‌های استاندارد خطی (مانند جایگذاری قطب) در طراحی v استفاده می‌کنیم.

برای استفاده از روش خطی‌سازی ورودی-حالت ابتدا باید بررسی شود که آیا سیستم قابلیت خطی‌سازی کامل حالت‌ها را دارد یا خیر؟ یک سیستم قابلیت خطی‌سازی کامل حالت‌ها را دارد، اگر و فقط اگر دو شرط زیر به صورت همزمان برقرار باشند [21]:

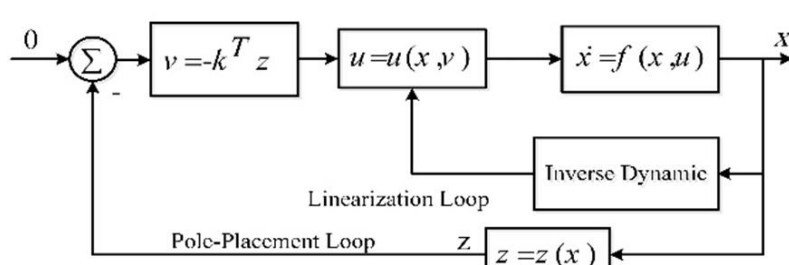


Fig. 2 An input-state linearization

شکل 2 خطی‌سازی ورودی-حالت

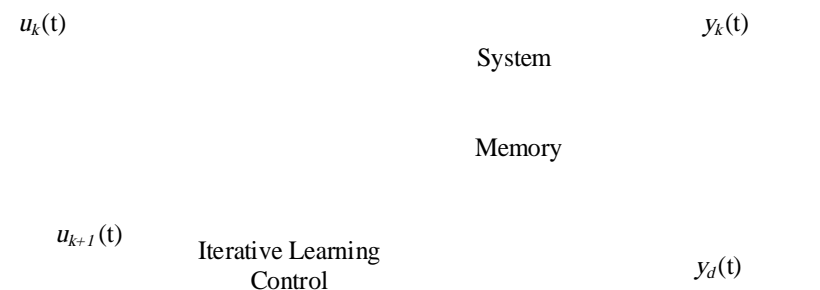


Fig. 1 Basic idea of ILC

شکل 1 ایده اساسی کنترل یادگیر تکرارشونده

از معروف‌ترین قوانین کنترل یادگیر تکرارشونده می‌توان به قانون یادگیری تناسبی و قانون یادگیری مشتقی اشاره کرد. برای قانون بروزرسانی کنترل یادگیر تکرارشونده مشتقی ($\Delta u_k(t)$) به صورت زیر است [19].

$$\Delta u_k(t) = \Gamma \frac{d}{dt} e_k(t) \quad t = 0, 1, \dots, t_f, \quad k = 0, 1, \dots \quad (2)$$

با قرار دادن رابطه (2) در (1) داریم:

$$u_{k+1}(t) = u_k(t) + \Gamma \frac{d}{dt} e_k(t) \quad (3)$$

در قانون بروزرسانی کنترل یادگیر تکرار شونده تناسبی ($\Delta u_k(t)$) به صورت زیر می‌باشد:

$$\Delta u_k(t) = \Gamma e_k(t), \quad t = 0, 1, \dots, t_f, \quad k = 0, 1, \dots \quad (4)$$

$$u_{k+1}(t) = u_k(t) + \Gamma e_k(t) \quad (5)$$

در روابط فوق $e_k(t)$ سیگنال خطای ردیابی بین مسیر خروجی واقعی $y_k(t)$ و مسیر مطلوب $y_d(t)$ در تکرار k است و به صورت زیر بدست می‌آید:

$$e_k(t) \triangleq y_d(t) - y_k(t) \quad (6)$$

همانطور که در روابط فوق مشاهده می‌شود نحوه بدست آوردن $\Delta u_k(t)$ نوع قانون کنترل یادگیر تکرار شونده را مشخص می‌کند. در رابطه بالا Γ بهره‌ی یادگیری است که بر اساس دانش قبلی از فرآیند تحت کنترل طراحی می‌شود. $(u_k(t))$ سیگنال کنترلی ورودی در تکرار k ، و $t \in [0, t_f]$ نشان‌دهنده تعداد تکرار، که متغیری صحیح (گسسته) است و نشان‌دهنده می‌تواند زمان که ممکن است متغیری صحیح (گسسته) و یا پیوسته باشد و t_f طول هر تکرار بوده و معلوم است.

با استفاده از روابط (2) تا (6) قانون بروزرسانی کنترل یادگیر تکرار شونده در حوزه‌ی فرکانس به صورت زیر است.

$$u_{k+1}(s) = u_k(s) + \Gamma s^\alpha E_k(s) \quad (7)$$

$$E_k(s) = y_d(s) - y_k(s) \quad (8)$$

با توجه به رابطه (7)، زمانی که $\alpha = 0$ باشد یک قانون یادگیری تکرار شونده تناسبی بدست می‌آید و همچنین زمانی که $\alpha = 1$ باشد یک قانون یادگیری تکرار شونده مشتقی خواهیم داشت. قانون بروزرسانی کنترل یادگیر تکرار شونده مرتبه کسری نوع D^α و PD^α را می‌توان به ترتیب با استفاده از روابط (9) و (10) محاسبه کرد:

$$u_{k+1}(s) = u_k(s) + k_D s^\alpha E_k(s) \quad (9)$$

$$u_{k+1}(s) = u_k(s) + k_p E_k(s) + k_D s^\alpha E_k(s) \quad (10)$$

در روابط بالا ضریب تناسبی k_p و ضریب مشتقی k_D ، ضرایب حقیقی ثابت هستند و بهره‌ی یادگیری نامیده می‌شوند که باید بطور مناسب انتخاب شوند. در این مقاله بررسی می‌کنیم چنانچه α یک عدد حقیقی بین $\alpha \in (0, 2)$ باشد چه تأثیری بر نحوه‌ی همگرایی خروجی واقعی بر خروجی مطلوب خواهد داشت.

فرم خطی‌سازی شده سیستم غیرخطی بازوی ربات با استفاده از روابط (21) تا (28) عبارت است از:

$$\begin{cases} \dot{z} = Az + Bv \\ y = Cz \end{cases} \quad (29)$$

که در آن، مقادیر ماتریس‌های A , B و C برابر است با:

$$\begin{bmatrix} \dot{z}_1 \\ \dot{z}_2 \end{bmatrix} = \begin{bmatrix} 0 & 1 \\ 0 & 0 \end{bmatrix} \begin{bmatrix} z_1 \\ z_2 \end{bmatrix} + \begin{bmatrix} 0 \\ 1 \end{bmatrix} v \quad (30)$$

$$y = [1 \ 0] \begin{bmatrix} z_1 \\ z_2 \end{bmatrix} \quad (31)$$

بنابراین، با تبدیل حالت و تبدیل ورودی (22) تا (28)، مسئله پایدارسازی دینامیک‌های غیرخطی (11) با استفاده از کنترل ورودی اصلی $u_k(t)$ به مسئله پایدارسازی دینامیک‌های جدید (29) با استفاده از ورودی جدید v تبدیل شده است. چون دینامیک جدید خطی و کنترل‌پذیر است، لذا از روش جایگذاری قطب در طراحی v به صورت زیر استفاده می‌شود:

$$v = -K_1 z_1 - K_2 z_2 \quad (32)$$

کاملاً شناخته شده است که قانون کنترل پسخوردی حالت خطی قادر است که قطب‌ها را با انتخاب مناسب بهره‌های پسخوردی در هر جا قرار دهد.

5- آنالیز همگرایی قانون یادگیری مرتبه کسری ارائه شده

در این بخش، تجزیه و تحلیل همگرایی برای کنترل یادگیر تکرارشونده مرتبه کسری نوع PD^α (پیشنهاد شده در بخش 2)، برای سیستم‌های خطی ارائه می‌گردد. برای آنالیز همگرایی قانون یادگیری رابطه (10)،تابع انتقال فرآیند خطی‌سازی شده $(s)G_C(s)$ در نظر گرفته می‌شود. و برای این تابع تبدیل ورودی $u(t)$ ، $y(t)$ و خروجی $u(t)$ است. فرض می‌شود که $G_C(s)$ پایدار داخلی و BIBO است. با توجه به مسیر خروجی مطلوب $y_d(t)$ که در آن $u_d(t) \in [0, t_f]$ ، فرض می‌شود که یک ورودی مطلوب منحصر به فرد (t) می‌توانیم پیدا کرد، که معادله زیر را برآورده سازد:

$$y_d(t) = G_C u_d(t) \quad (33)$$

با استفاده از روابط (8) و (10) برای قانون بروزرسانی PD^α -type ILC داریم:

$$\begin{aligned} u_{k+1}(s) &= u_k(s) + k_p(y_d(s) - y_k(s)) + \\ &\quad k_D s^\alpha (y_d(s) - y_k(s)) \\ &= u_k(s) + k_p G_C(s)(u_d(s) - u_k(s)) \\ &\quad + k_D s^\alpha G_C(s)(u_d(s) - u_k(s)) \\ &= (1 - k_p G_C(s) - k_D s^\alpha G_C(s))u_k(s) \\ &\quad + (k_p + k_D s^\alpha)G_C(s)u_d(s) \end{aligned} \quad (34)$$

از معادله فوق، ρ را به صورت زیر تعریف می‌کنیم:

$$\rho = 1 - k_p G_C(s) - k_D s^\alpha G_C(s) \quad (35)$$

با استفاده از روش بازگشتی داریم:

$$\begin{aligned} u_1(s) &= u_0(s)\rho + (k_p + k_D s^\alpha)G_C(s)u_d(s) \\ u_2(s) &= u_0(s)\rho^2 + \frac{1 - \rho^2}{1 - \rho}(k_p + k_D s^\alpha) \\ &\quad \times G_C(s)u_d(s) \\ u_3(s) &= u_0(s)\rho^3 + \frac{1 - \rho^3}{1 - \rho}(k_p + k_D s^\alpha) \times \\ &\quad G_C(s)u_d(s) \\ &\vdots \\ u_{k+1}(s) &= u_0(s)\rho^{k+1} + \frac{1 - \rho^{k+1}}{1 - \rho}(k_p + \\ &\quad k_D s^\alpha)G_C(s)u_d(s) \end{aligned} \quad (36)$$

در معادله فوق، اگر $1 < |\rho|$ باشد. آنگاه داریم:

$$\lim_{k \rightarrow \infty} (u_{k+1}(s)) = \lim_{k \rightarrow \infty} (u_0(s)\rho^{k+1} + (1 - \rho^{k+1})u_d(s)) = u_d(s) \quad (37)$$

1. بردارهای ماتریس $G(x) = [g(x), ad_f g(x), \dots, ad_f^{n-1} g(x)]$

دارای رتبه کامل باشد.

2. فضای گسترده $\Delta = \text{span}[g(x), ad_f g(x), \dots, ad_f^{n-2} g(x)]$ غیر پیچشی باشد.

در رابطه بالا $ad_f g(x)$ ، مشتقات کروشه لی است که به صورت رابطه (17) تعریف می‌شود. n مرتبه نسبی سیستم است که در سیستم بازوی ربات $n = 2$ است. با داشتن یک میدان برداری $f(x)$ و حالات x ژاکوبی f به صورت ∇f نمایش داده می‌شود، و رابطه آن به صورت (18) است:

$$ad_f g(x) = \nabla g \cdot f - \nabla f \cdot g \quad (17)$$

$$\nabla f = \frac{\partial f}{\partial x}, \nabla g = \frac{\partial g}{\partial x} \quad (18)$$

این ژاکوبی توسط ماتریس $n \times n$ از مؤلفه‌های j تشکیل شده است. برای اینکه نشان دهیم سیستم بازوی ربات به طور کامل قابلیت خطی‌سازی را دارد، دو شرط بالا را مورد بررسی قرار می‌دهیم. با محاسبه میدان‌های برداری $ad_f g(x)$ در رابطه (19)، ماتریس $G(x)$ را می‌توان به صورت (20) بدست آورد.

$$ad_f g(x) = \nabla g \cdot f - \nabla f \cdot g = \begin{bmatrix} -\frac{1}{J} \\ \frac{1}{J^2} B \end{bmatrix} \quad (19)$$

$$G(x) = [g(x), ad_f g(x)] = \begin{bmatrix} 0 & -\frac{1}{J} \\ 1 & \frac{1}{J^2} B \end{bmatrix} \quad (20)$$

ماتریس $G(x)$ دارای رتبه کامل ($\text{rank}(G(x)) = 2$) است. توزیع $\Delta = \text{span}\{g\}$ نیز گسترده است. از آنجا که شرایط کنترل‌پذیری و غیرپیچشی برقرار است، حال باید تبدیل حالت $(x) = z$ و تبدیل ورودی $u = \sigma(x) + \beta(x)v$ بدست آید. $(x) = z$ باید طوری بدست آید که معادلات زیر را ارضاء کند:

$$\begin{cases} \nabla z_1 ad_f^i g = 0 & i = 0, \dots, n-2 \\ \nabla z_1 ad_f^{n-1} g \neq 0 \end{cases} \quad (21)$$

پس اولین مؤلفه z_1 از بردار حالت جدید z باقیستی رابطه (22) را برقرار سازد:

$$\frac{\partial z_1}{\partial x_2} = 0, \quad \frac{\partial z_1}{\partial x_1} \neq 0 \quad (22)$$

لذا z_1 باقیستی تنها تابعی از x_1 باشد. ساده‌ترین حل برای معادلات (22) عبارت است از:

$$z_1 = x_1 \quad (23)$$

حالات دیگر را می‌توان از روی z_1 بدست آورد:

$$z_2 = \nabla z_2 f = x_2 \quad (24)$$

بنابراین، تبدیل ورودی عبارت است از:

$$u = \sigma(x) + \beta(x)v \quad (25)$$

$$\sigma(x) = -\frac{L_f^n z_1}{L_g L_f^{n-1} z_1} = -\frac{L_f^2 z_1}{L_g L_f z_1} = f + Bx_2 - \left(\frac{1}{2}m + M\right)gl \sin x_1 \quad (26)$$

$$\beta(x) = -\frac{1}{L_g L_f^{n-1} z_1} = J \quad (27)$$

در نتیجه تبدیلات حالت و ورودی فوق، به معادلات خطی زیر می‌رسیم:

$$\begin{cases} \dot{z}_1 = z_2 \\ \dot{z}_2 = v \\ y = z_1 \end{cases} \quad (28)$$

گونه‌ای نباشد. تعداد تعادل گونه‌ها در نقطه‌ای است که نرخ‌های مهاجرگریزی و مهاجرپذیری با هم برابر هستند، و برابر با S_0 است. نرخ مهاجرگریزی و نرخ مهاجرپذیری تابع تعداد گونه‌ها در زیستگاه است. آنها را می‌توان به شرح زیر محاسبه کرد:

$$\lambda_S = I \left\{ \left(1 - \frac{S}{S_{\max}} \right) \right\} \quad (40)$$

$$\mu_S = E \left(\frac{S}{S_{\max}} \right) \quad (41)$$

در حالت خاص هنگامی که $E = I$ باشد نرخ‌های مهاجرپذیری و مهاجرگریزی به صورت زیر است.

$$\mu_S + \lambda_S = E \quad (42)$$

در روابط (40) و (41)، I حداکثر نرخ ممکن برای مهاجرپذیری است، E حداکثر نرخ ممکن برای مهاجرگریزی است، S تعداد گونه‌های فردی S کام و S_{\max} حداکثر تعداد گونه‌ها در زیستگاه است، که در آن نقطه نرخ مهاجرپذیری صفر و حداکثر نرخ ممکن مهاجرگریزی E ، رخ می‌دهد. مفهوم BBO بر اساس مهاجرت و جهش است، که بصورت زیر بحث شده است.

6-1- استراتژی مهاجرت

عمل مهاجرت در جغرافیای زیستی شبیه عمل باز ترکیب عمومی در ژنتیک و استراتژی تکاملی بوده و برای اصلاح پاسخ‌های غیر نخبه انجام می‌شود. مهاجرت را می‌توان به صورت $H_i(SIV) \leftarrow H_j(SIV)$ [22]. فرض می‌کنیم N زیستگاه وجود دارد که H_i یکی از آنها است که نرخ مهاجرپذیری آن λ_i است. و H_j زیستگاه بعدی است که، نرخ مهاجرگریزی آن μ_j است. یک اپراتور مهاجرت تعمیم داده شده از اپراتور مهاجرت BBO استاندارد، به نام مهاجرت مخلوط⁵ به صورت زیر تعریف می‌شود [22].

$$H_i(SIV) \leftarrow \gamma H_i(SIV) + (1 - \gamma) H_j(SIV) \quad (43)$$

در رابطه بالا γ یک عدد حقیقی بین ۰ تا ۱ است که می‌تواند بصورت اتفاقی و یا قطعی انتخاب شود.

6-2- استراتژی جهش

اتفاقات ناگهانی باعث می‌شوند که تعداد گونه‌ها از مقدار تعادل خود منحرف شوند و HSI زیستگاه به طور ناگهانی تغییر کند. در BBO این اتفاق با جهش SIV نشان داده می‌شود. شاید همیشه تمام جواب‌هایی که توسط الگوریتم BBO بدست آمده است بهینه نباشد، یا ممکن است ما را از هدف اصلی که رسیدن به جواب بهینه است دور کند بدین منظور در این الگوریتم بعد از عمل مهاجرت باید عملگر جهش روی راه حل‌ها اتفاق بیافتد، از جهش برای تغییر راه حل‌ها استفاده خواهیم کرد، هدف کلی جهش ایجاد تنوع در راه حل‌ها یا افزایش زیستگاه‌ها در میان جمعیت است [23,13]. احتمال تعداد گونه‌ها P_S ، بیانگر آن است که زیستگاه شامل دقیقاً S گونه باشد. P_S از زمان t تا زمان $(t + \Delta t)$ با استفاده از λ_s و μ_s ، به صورت معادله (44) بروزرسانی می‌شود که برای مشخص کردن نرخ جهش استفاده می‌شود. و فرض کنید یک زیستگاه با گونه S برای اجرای عملیات جهش مشخص شده است، یک متغیر انتخاب شده (SIV) بر اساس احتمال وجود آن P_S به طور تصادفی تغییر دهد. از احتمال تعداد گونه‌های موجود در زیستگاه P_S نرخ جهش ($m(s)$) بصورت زیر محاسبه می‌شود:

$$P_S(t + \Delta t) = P_S(t) + (1 - \lambda_s \Delta t - \mu_s \Delta t) + P_{s-1} \lambda_{s-1} \Delta t + P_{s+1} \mu_{s+1} \Delta t \quad (44)$$

5- Blended Migration

پس همگرایی قانون یادگیری ارائه شده به صورت زیر است:

$$|1 - k_p G_C(j\omega) - k_D(j\omega)^\alpha G_C(j\omega)| < 1, \quad \forall \omega \quad (38)$$

اگر ضرایب α و k_p طوری انتخاب شوند که در معادله (38) صدق کنند، آنگاه قانون PD ^{α} -type ILC مورد نظر همگرا بوده و رابطه (39) تحقق می‌یابد:

$$\lim_{k \rightarrow \infty} (y_d(s) - y_k(s)) = 0 \quad (39)$$

6- بهینه‌سازی عملکرد کنترل یادگیر تکرارشونده مرتبه کسری با استفاده از الگوریتم بهینه‌سازی مبتنی بر جغرافیای زیستی

در قسمت قبل بیان شده است که اگر ضرایب k_p و k_D طوری انتخاب شوند که در معادله (38) صدق کنند، آنگاه قانون بروزرسانی کنترل یادگیر تکرارشونده نوع PD ^{α} مورد نظر همگرا خواهد بود. در این قسمت یک معیار برای انتخاب بهینه این ضرایب با استفاده از الگوریتم بهینه‌سازی مبتنی بر زیست جغرافیا [13] ارائه می‌گردد.

الگوریتم BBO یک تکنیک تکاملی بر پایه جمعیت است که از پدیده مهاجرت حیوانات و پرندگان به جزایر الهام گرفته شده است. این روش ویژگی‌های مشترکی با دیگر روش‌های بهینه‌سازی‌های مبتنی بر زیست‌شناسی مانند ژنتیک و اجتماع ذرات معلم دارد. مناطق جغرافیایی که مکان مناسبی برای سکونت گونه‌های زیستی هستند، دارای شاخص شایستگی بالا یا HSI¹ هستند. ویژگی‌هایی که تعیین کننده HSI هستند، شامل فاکتورهایی مانند: میزان بارندگی، تنوع پوشش گیاهی، مساحت، دما و خاک هستند. متغیرهایی که این شایستگی را شکل می‌دهند، متغیرهای شاخص شایستگی² (SIVs²) خوانده می‌شوند. SIVs² می‌توانند متغیرهای مستقل از زیستگاه و HSI متغیر وابسته به زیستگاه در نظر گرفته می‌شوند. تعداد زیادی از گونه‌ها در زیستگاه‌های با HSI بالا قرار دارند، و در نتیجه در آنها نرخ مهاجرگریزی (مهاجرت از³) گونه به زیستگاه همسایه زیاد و نرخ مهاجرپذیری (مهاجرت به⁴) کمی دارند. زیستگاه‌های با HSI پایین تعداد گونه کمی دارند و لذا نرخ مهاجرپذیری به آنها زیاد و نرخ مهاجرگریزی کمی دارند. شکل 3 یک نمونه از فرآویانی گونه‌ها در یک زیستگاه را نشان می‌دهد. نرخ مهاجرگریزی μ و نرخ مهاجرپذیری λ تابعی از تعداد گونه‌ها در زیستگاه می‌باشند.

ماکریم نرخ مهاجرگریزی برابر است با E و زمانی اتفاق می‌افتد که زیستگاه شامل بیشترین تعداد گونه‌ای که می‌تواند تأمین کند باشد. ماکریم نرخ مهاجرپذیری به زیستگاه I است و وقتی رخ می‌دهد که در زیستگاه هیچ

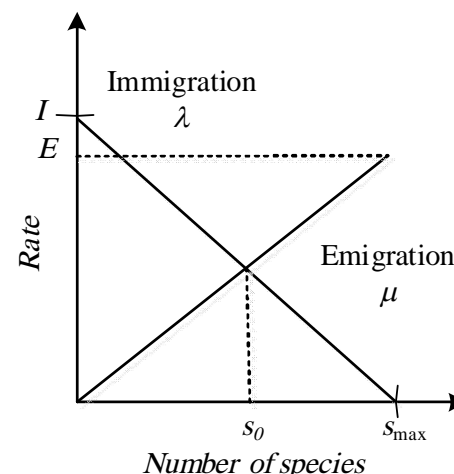


Fig. 3 Species model of a single habitat

شکل 3 مدل گونه‌ها یک زیستگاه تنهای.

- 1- Habitat Suitability Index
- 2- Suitability Index Variables
- 3- Emigration
- 4- Immigration

هر تکرار بروی صفر تنظیم می‌شود. موقعیت زاویه‌ای بازوی ربات 0 و $\theta_b = 0$ و $t_f = 1$, و $t_0 = 0$ مقادیر ثانیه است. مقادیر پارامترهای

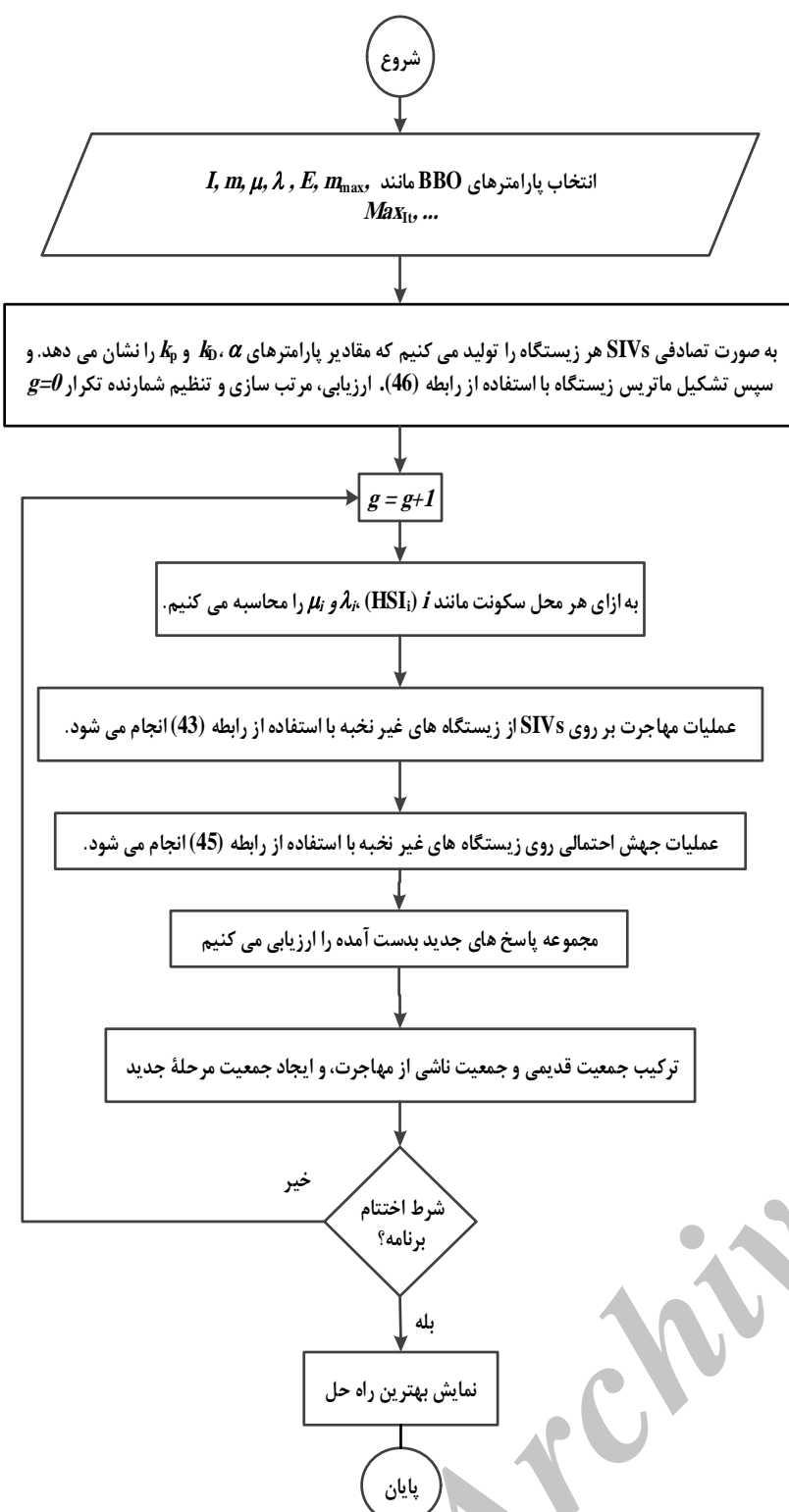


Fig. 4 The flowchart of extended BBO algorithm for iterative learning control problem.

شکل 4 نمودار الگوریتم BBO توسعه یافته برای مسئله کنترل یادگیر تکرارشونده.

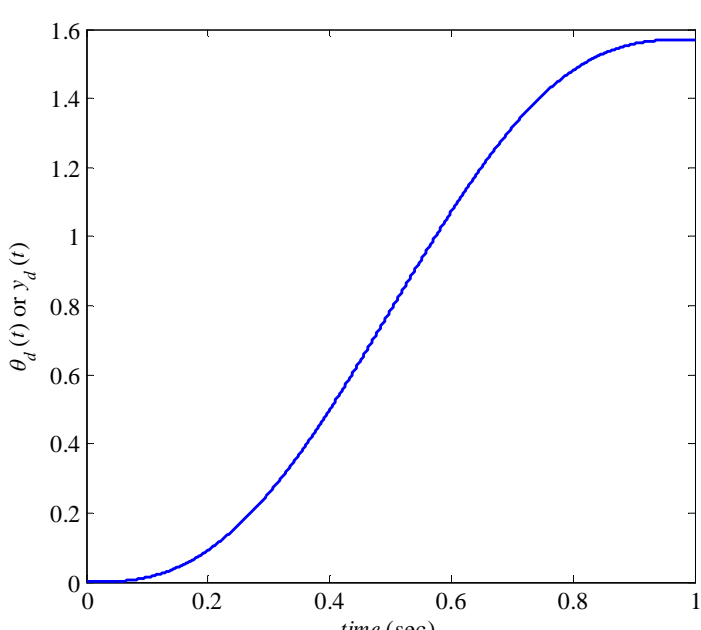


Fig. 5 Desired output trajectory $\theta_d(t) = y_d(t)$. [12]

شکل 5 مسیر خروجی مطلوب ($\theta_d(t) = y_d(t)$)

$$m(s) = m_{\max}(1 - \frac{P_s}{P_{\max}}) \quad (45)$$

که در آن m_{\max} (بیشترین مقدار نرخ جهش) یک پارامتر تعريف شده توسط کاربر است، و P_{\max} حداکثر احتمال تعداد گونه‌ها است، در حالی که احتمال وجود گونه S در زیستگاه است.

6-3- فلوچارت وتابع هزینه الگوریتم

برای انتخاب بهینه ضرایب FOILC با استفاده از الگوریتم بهینه‌سازی BBO، هر SIVs (متغیرهای شاخص شایستگی) برای کنترل کننده ILC نوع PD^α از سه پارامتر α , k_D و k_P تشکیل شده است و هر SIVs برای کنترل کننده ILC نوع D^α دارای دو پارامتر α و k_D است. برای محاسبه HSI یا تابع هزینه به ازای هر SIV کنترل یادگیر تکرار شونده با مقدار اولیه آن شروع شده و تا تعداد تکرار از پیش تعیین شده ادامه می‌یابد. در انتهای تکرار آخر الگوریتم ILC یک استاندارد زمان ضربدر توان دوم خطای 1 را به عنوان HSI یا تابع هدف در نظر می‌گیریم. تابع هدف بصورت زیر تعريف می‌شود:

$$\begin{aligned} J_{ITSE} &= \int_{t_{\text{sim}}^0}^{t_{\text{sim}}} t \cdot e^2(t) dt \\ &= \int_0^{t_{\text{sim}}} t \cdot (y_d(t) - y_k(t))^2 dt \end{aligned} \quad (46)$$

در معادلات بالا، t_{sim} محدوده زمانی از شبیه‌سازی که در آن بهینه سازی انجام شده است. بصورت کلی نمودار الگوریتم BBO تعمیم داده شده در شکل 4 قابل مشاهده است.

7- شبیه‌سازی

در این بخش، ابتدا به منظور ارزیابی عملکرد و بررسی مزایای استفاده از محاسبات مرتبه کسری، از قوانین بروزرسانی کنترل یادگیر تکرارشونده مرتبه کسری پیشنهادی (نوع D^α و نوع PD^α)، برای کنترل بازوی ربات تک-لینک که در بخش 3 معرفی شده است، استفاده می‌شود و سپس با استفاده از الگوریتم BBO ضرایب کنترل کننده ILC مرتبه کسری به صورت بهینه محاسبه می‌شود. کلیه شبیه‌سازی‌های این مقاله توسط نرم‌افزار متلب انجام شده است.

مسیر خروجی مطلوب که بازوی ربات با افزایش تعداد تکرار باید آنرا ردیابی کند در شکل 5 نشان داده شده است و معادله آن چنین است:

$$\theta_d(t) = \theta_b + (\theta_b - \theta_f)(15r^4 - 6r^5 - 10r^3) \quad (47)$$

$$r = \frac{t}{t_f - t_0} \quad (48)$$

برای تعیین ورودی فرآیند از روش ارائه شده در این مقاله استفاده می‌کنیم. بدین منظور ابتدا سیستم غیرخطی بازوی ربات را مطابق با شکل 2 خطی‌سازی نموده و سپس با استفاده از استراتژی فیدبک حالت و انتخاب بردار بهره فیدبک $K = [K_1 \ K_2]$, قطب‌های حلقه بسته را در مکان مطلوب قرار می‌دهیم. پس از خطی‌سازی و اعمال استراتژی فیدبک حالت با استفاده قوانین بروزرسانی کنترل یادگیر تکرار شونده با معادله (9) و (10)، مطابق با شکل 1 ورودی فرآیند را محاسبه می‌کنیم.

در شبیه‌سازی با فرض قطب‌های مطلوب حلقه بسته $\{1, -2, -1\}$ آنگاه بردار بهره فیدبک حالت $K = [2, 3]$ بدست می‌آید. حالت‌های اولیه ILC در

1- Integral of Time multiplied square value of the Error (ITSE)

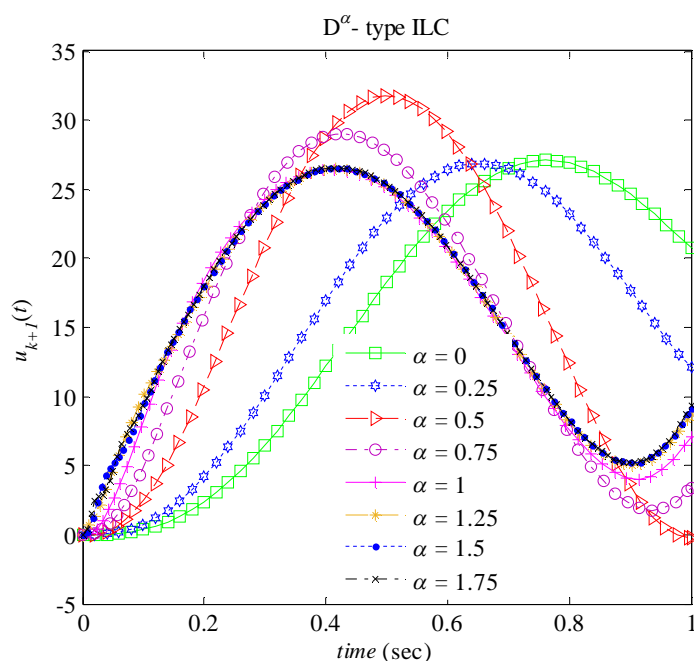


Fig. 7 Comparison The control effort vs. by using updating law D^α -type ILC.

شکل 7 نمودار سیگنال کنترلی ورودی با استفاده از قانون بروزرسانی D^α -type ILC.

یادگیر تکرار شونده مرتبه صحیح و کسری را مورد ارزیابی و مقایسه قرار داد. در واقع، اگر $\alpha = 0$ باشد فقط متغیرهای حالت برای بروزرسانی ILC استفاده می‌شوند.

که در این حالت ما یک قانون بروزرسانی ILC تناسبی (نوع P) داریم. هنگامی که $\alpha = 1$ باشد آنگاه مشتقی از متغیرهای حالت که شامل شتاب زاویه‌ای² است مورد استفاده قرار می‌گیرد و در نتیجه ما یک قانون بروزرسانی ILC مشتقی (نوع D) خواهیم داشت.

همانطور که در شکل 8 نشان داده شده است بعد از 40 تکرار به ازای $\alpha = \{0.75, 1, 1.25, 1.5, 1.75\}$ خروجی واقعی به خروجی مطلوب به صورت کامل همگرا شده است و برای $\alpha = \{0, 0.25, 0.5\}$ نیاز داریم که تعداد تکرار افزایش پیدا کند. چنانچه شرط پایان تکرار ILC را $< 1^\circ$ در نظر بگیریم، نتایج بدست آمده در شکل 9 نشان می‌دهد که به ازای $\alpha = 1.75$ در تکرار 13 شرط $J_k(e_{m1}) < 1^\circ$ ارضاء می‌شود.

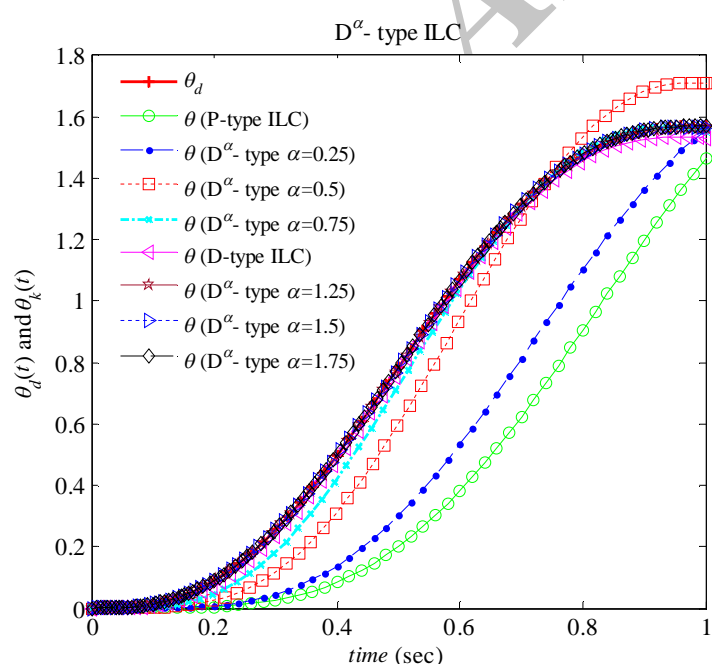


Fig. 8 Desired and the output response of the D^α -type ILC update law, for different values of α and $k = 40$.

شکل 8 نمودار موقعیت مطلوب و موقعیت واقعی با استفاده از قانون بروزرسانی D^α -type ILC برای α های مختلف و $k = 40$.

سیستم بصورت جدول 1 انتخاب شده است [20]. در اینجا ما فرض می‌کنیم که سرعت زاویه‌ای در دسترس است. سپس برای $\alpha = 1$ در رابطه (9) بهترین انتخاب Γ برابر J است که توسط رابطه (12) محاسبه می‌شود [24].

7-کنترل یادگیر تکرار شونده مرتبه کسری

در این بخش، قوانین بروزرسانی کنترل یادگیر تکرارشونده مرتبه کسری پیشنهادی بر روی بازوی ربات تک-لینک خطی‌سازی شده پیاده‌سازی می‌شود. در شبیه‌سازی از نتیجه¹ که یک جعبه‌ابزار برای کمک به پیاده‌سازی کنترل‌کننده‌های مرتبه کسری در متلب است، استفاده شده است

[25]. عملکرد ردیابی توسط رابطه زیر ارزیابی می‌شود:

$$J_k(e_{m1}) = \sup_{t \in [0, 1]} (\theta_d(t) - \theta_k(t))^2 \quad (49)$$

که در آن J_k ، مجذور خطای موقعیت بر حسب درجه (deg)، $J_k(e_{m1})$ ، بر حسب 40 تکرار در شکل 6 نشان داده شده است. سیگنال کنترلی ورودی بدست آمده از 40 تکرار در شکل 7 نشان داده شده است و خروجی بدست آمده از این ورودی برای قانون بروزرسانی ILC مرتبه کسری (نوع D^α) به ازای مقادیر مختلف α در شکل 8 نشان داده شده است که در آن از قانون بروزرسانی ILC نوع D^α رابطه (9)، برای تعیین ورودی فرآیند در تکرار $1 + k$ استفاده شده است. با مشاهده شکل 6 می‌توان عملکرد کنترل

جدول 1 پارامترهای سیستم بازوی ربات تک-لینک

Table 1 Parameters of a single-link robot manipulator

نوع پارامتر	مقدار
f^+	8.43 Nm
f^-	-8.26 Nm
B^+	4.94 $\frac{\text{Nm}}{\text{rad}}$ / sec
B^-	3.45 $\frac{\text{Nm}}{\text{rad}}$ / sec
M	4 kg
m	2 kg
l	0.5 m
g	9.8 $\frac{\text{m}}{\text{s}^2}$

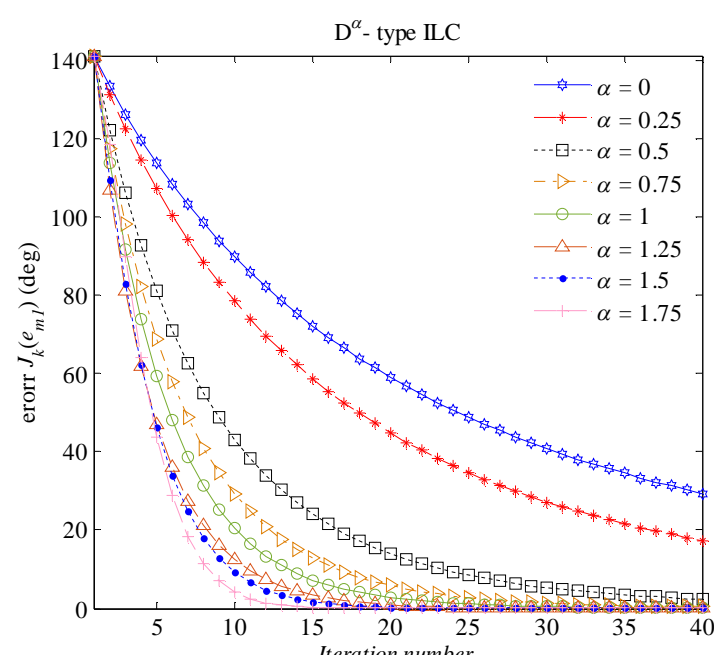


Fig. 6 Maximum square error (MSE) of the tracking versus the iteration number, Comparison of D^α -type ILC with different α .

شکل 6 نمودار توان دوم حداکثر خطای ردیابی $J_k(e_{m1})$ بر حسب تعداد تکرار، با استفاده از قانون بروزرسانی D^α -type ILC برای مقادیر مختلف α .

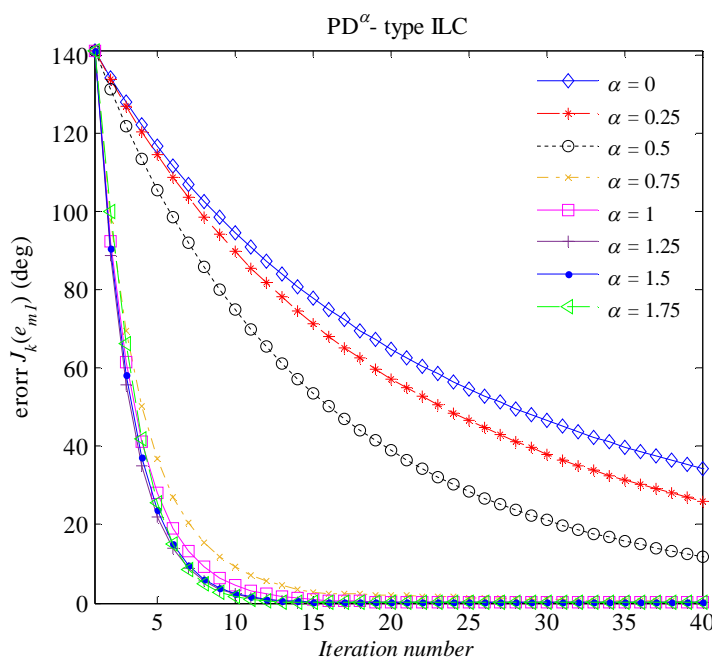


Fig. 11 Maximum absolute angular tracking errors versus the iteration number, Comparison of PD^α -type ILC with different α and $k = 1, \dots, 40$.

شکل 11 نمودار توان دوم حداکثر خطای رديابي (e_{m1}) J_k , بر حسب تعداد تکرار, با استفاده از قانون بروزرسانی PD^α -type ILC برای مقادير مختلف α و $k = 1, \dots, 40$

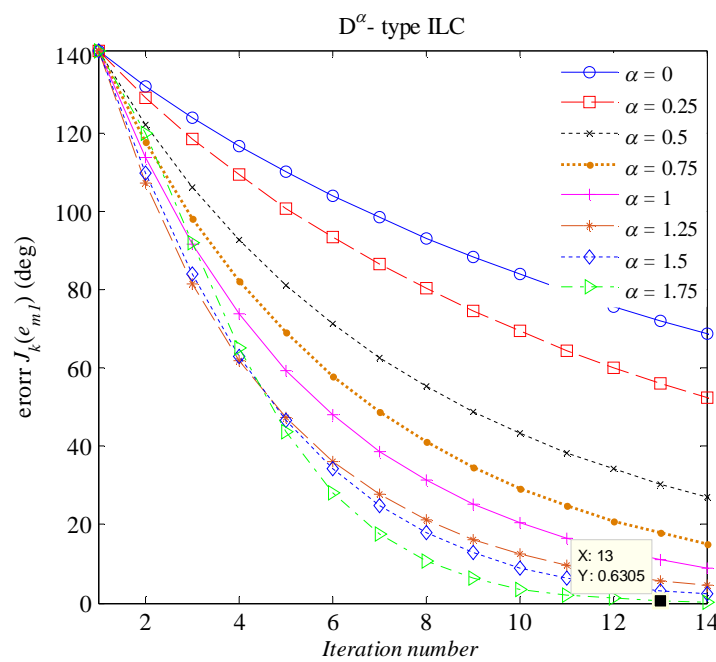


Fig. 9 Maximum absolute angular tracking errors $J_k(e_{m1})$, versus the iteration number, Comparison of D^α -type ILC with different α . With respect to the iteration number 14.

شکل 9 نمودار توان دوم حداکثر خطای رديابي (e_{m1}) J_k , بر حسب تعداد تکرار, با استفاده از قانون بروزرسانی D^α -type ILC برای مقادير مختلف α و $k = 1, \dots, 14$

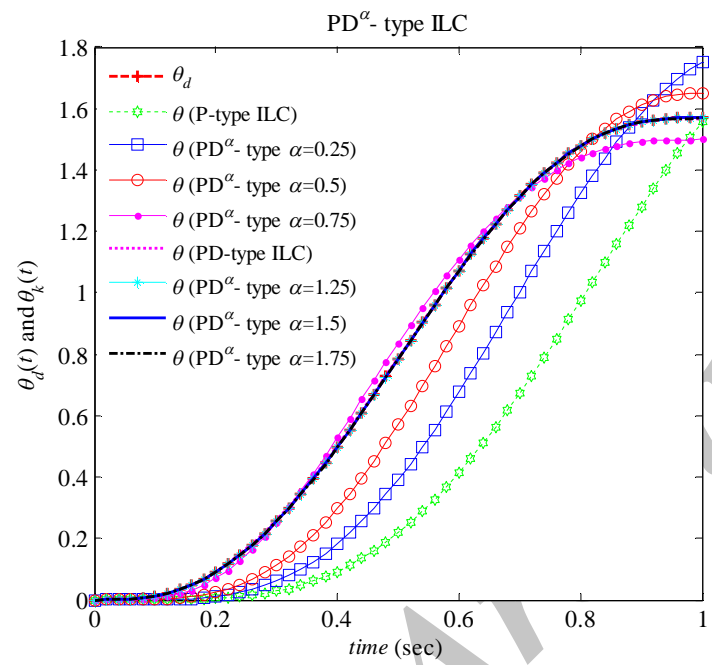


Fig. 12 Desired and the output diagram by using updating law PD^α -type ILC for different values of α and $k=40$.

شکل 12 نمودار خروجي مطلوب و خروجي واقعي بدست آمده با استفاده از قانون بروزرسانی PD^α -type ILC برای مقادير مختلف α و $k = 40$

همگرایی خروجی واقعی به خروجی مطلوب را تأمین کند سیگنال کنترلی ورودی بدست آمده با استفاده از قانون بروزرسانی کنترل یادگیر تکرارشونده PD^α برای مقادير مختلف α در تکرار $k = 40$ در شکل 13 نشان داده شده است. با توجه به شکل 11 مشاهده می شود قانون بروزرسانی PD^α -type ILC (برای $\alpha = 1.75$ با در نظر گرفتن شرط پایان تکرار ILC زمانی که $1^\circ < e_{m1} < 1^\circ$) توانسته است در تکرار 11ام به خروجی مطلوب همگرا شود.

با توجه به نتایج بدست آمده توسط قوانین بروزرسانی PD^α -type ILC و D^α -type ILC در این بخش نتیجه می گیریم که با انتخاب مناسب ضرایب α و k_D می توان سرعت همگرایی را افزایش داد.

به همین دليل در بخش بعد، با استفاده از الگوريتم BBO که در بخش 6 معرفی شده است ضرایب FOILC را به صورت بهينه بدست می آوریم.

خروجی واقعی بدست آمده در تکرار 15ام به ازای α های مختلف برای قانون بروزرسانی D^α -type ILC در شکل 10 نشان می دهد که در $\alpha = 1.75$ بيشترین سرعت همگرایی را نسبت به دیگر α ها خواهيم داشت.

برای نمایش نحوه عملکرد قانون بروزرسانی D^α -type ILC برای تعیین ورودی فرآيند در تکرار $1 + k$ استفاده شده است. برای شبیه سازی مقادير بهره های یادگیری $k_D = J/2$ و $k_P = J/2$ است و بقیه تنظیمات همانند قانون بروزرسانی PD^α -type ILC نوی D^α است. نتایج شبیه سازی توان دوم حداکثر خطای رديابي بر حسب تعداد تکرار، برای مقادير مختلف α در شکل 11 نشان داده شده است.

نحوه همگرایی خروجی واقعی ($\theta(t)$) به خروجی مطلوب ($\theta_d(t)$), با استفاده از قانون بروزرسانی D^α -type ILC برای تکرار $k = 40$ در شکل 12 نشان داده شده است. همانطور که در اين شکل مشاهده می شود به ازای برخی از مقادير α قانون بروزرسانی D^α -type ILC بخوبی توانسته است

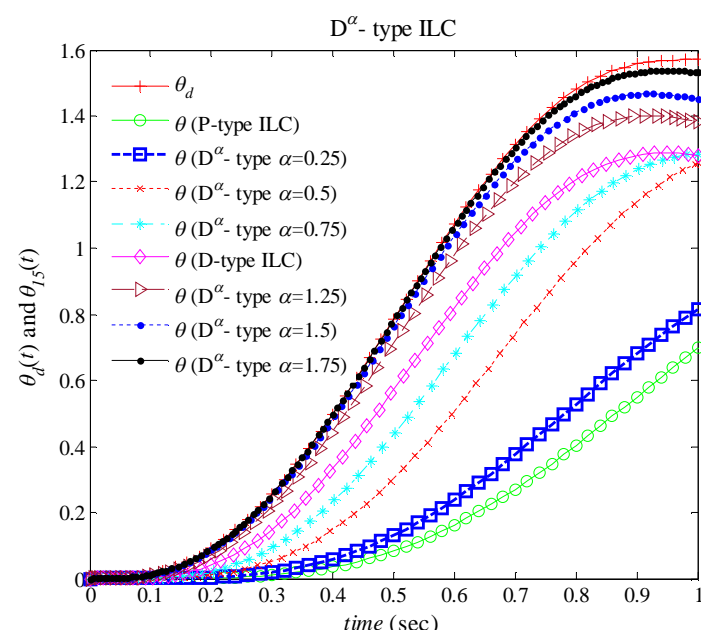


Fig. 10 The control effort for different values of α when $e_m < 0.01^\circ$, by using updating law D^α -type ILC and $k=15$.

شکل 10 نمودار خروجي مطلوب و خروجي واقعی با استفاده از قانون بروزرسانی D^α -type ILC برای α های مختلف و $k = 15$

قرار گرفته‌اند. تجزیه و تحلیل همگرایی PD^α -type ILC پیشنهاد شده برای سیستم‌های خطی ارائه شده است. شبیه‌سازی بر روی سیستم بازوی ربات

جدول 2 پارامترهای بدست آمده توسط الگوریتم BBO برای مقایسه عملکرد D^α -type ILC و PD^α -type ILC

Table 2 Parameter values obtained from BBO algorithm for performance Comparison between PD^α -type ILC and D^α -type ILC.

نوع پارامتر خروجی الگوریتم BBO	نوع پارامتر خروجی الگوریتم BBO	نوع پارامتر خروجی الگوریتم BBO
3.179	-	k_P
1.808	3.3712	k_D
1.7302	1.5886	α
1.38×10^{-10}	2.01×10^{-9}	J_{ITSE}

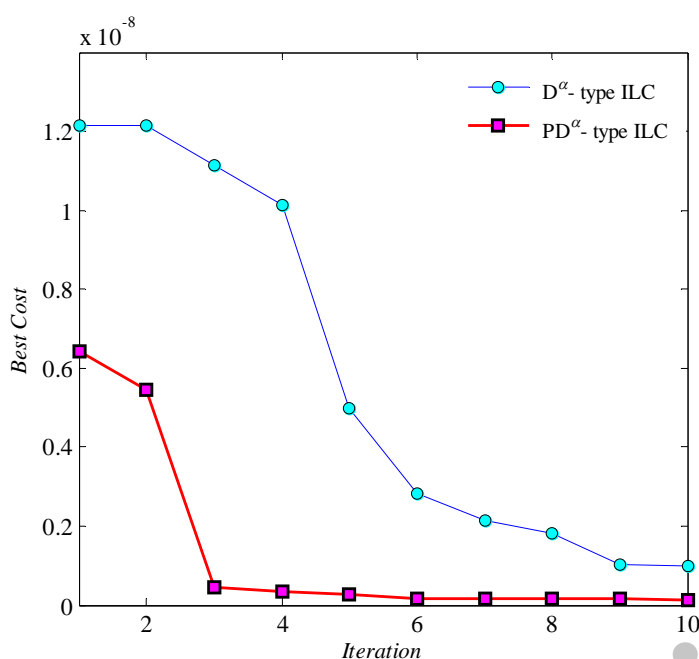


Fig. 14 Maximum absolute angular tracking errors versus the iteration number, for D^α -type ILC and PD^α -type ILC using the BBO algorithm.

شکل 14 نمودار همگرایی تابع هزینه الگوریتم BBO در محور تکرار، برای قوانین بروزرسانی D^α -type ILC و PD^α -type ILC.

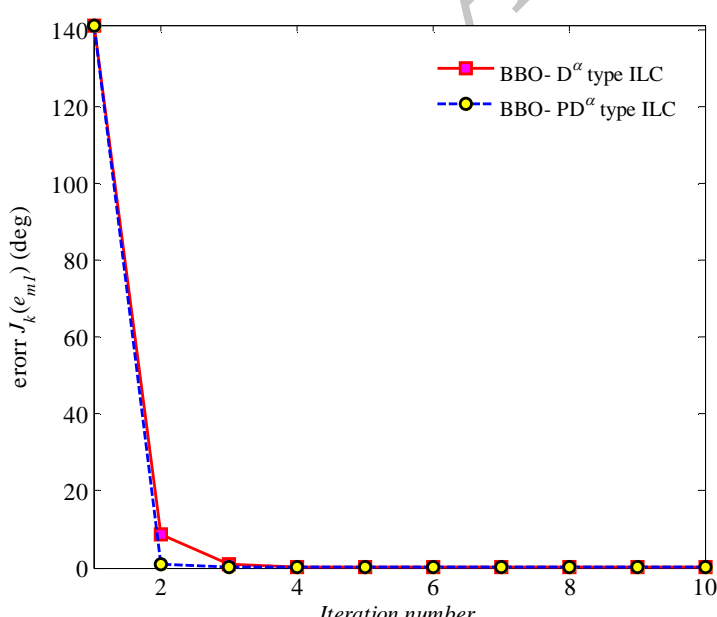


Fig. 15 Maximum absolute angular tracking errors versus the iteration number, for D^α -type ILC and PD^α -type ILC using the BBO algorithm.

شکل 15 نمودار توان دوم حداقل خطای ردیابی ($J_k(e_m1)$)، بر حسب تعداد تکرار، با استفاده از الگوریتم BBO برای قوانین بروزرسانی D^α -type ILC و PD^α -type ILC.

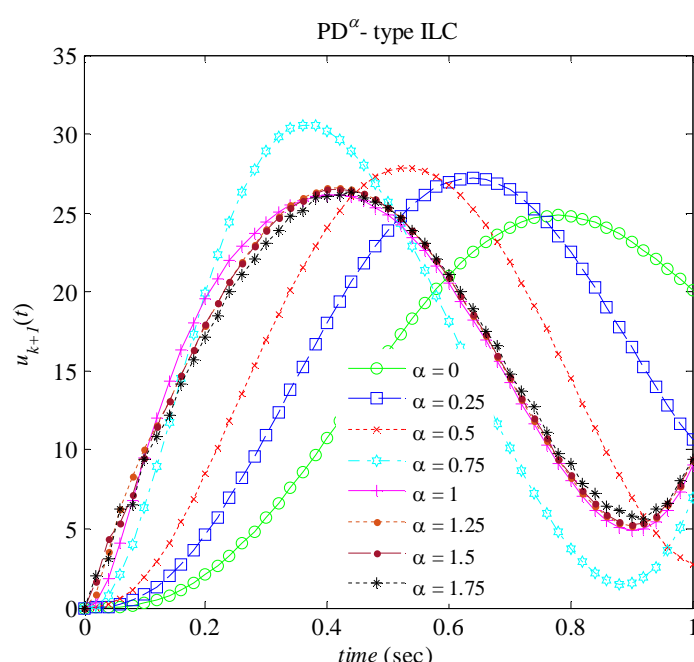


Fig. 13 The control effort for different values of α , by using updating law PD^α -type ILC and $k=40$.

شکل 13 نمودار سیگنال کنترلی ورودی با استفاده از قانون بروزرسانی $.k = 40$ برای α های مختلف و type ILC

7-2- کنترل یادگیر تکرار شونده مرتبه کسری بهینه
برای تنظیم پارامترهای BBO، ماکسیمم تعداد تکرار $Max_{It} = 10$ ، تعداد محلهای سکونت $p = 50$ ، تعداد زیستگاههای نخبه $n_{keep} = 5$ بعد گونه‌های مسئله (SIV) $m_{max} = 0.05$ ، $n_{Var} = 3$ ، حداکثر نرخ جهش $E = 1$ و معادله (43) مقدار $\gamma = 0.9$ ، حداکثر نرخ مهاجرت $I = 1$ و می‌باشد.

مقادیر پارامترهای بدست آمده توسط الگوریتم BBO برای هر دو قانون بروزرسانی کنترل یادگیر تکرارشونده مرتبه کسری در جدول 2 نشان داده شده است. نحوه همگرایی یکنواخت برای الگوریتم BBO بطوریکه تابع هزینه به تدریج کاهش می‌یابد در شکل 14 قابل مشاهده است. نحوه همگرایی خروجی واقعی به خروجی مطلوب برای هر دو قانون بروزرسانی کنترل یادگیر تکرار شونده D^α -type ILC و PD^α -type ILC در شکل 15 نشان داده شده است، که در این شکل پارامترهای هر دو کنترل کننده FOILC توسط الگوریتم BBO بدست آمده است.

همانطور که در شکل 15 قابل مشاهده است سرعت همگرایی برای زمانی که ضرایب FOILC با استفاده از الگوریتم BBO بدست آمده بهبود پیدا می‌کند. همانطور که در شکل 6 نشان داده شده است بیشترین سرعت همگرایی برای D^α -type ILC در 13 تکرار اتفاق افتاده است اما با استفاده از BBO- D^α -type ILC سرعت همگرایی بهبودیافته و مطابق با شکل 15، به 3 تکرار می‌رسد. با توجه به شکل 11 بیشترین سرعت همگرایی برای قانون بروزرسانی PD^α -type ILC در تکرار 11 اتفاق افتاده است، در صورتی که با استفاده از BBO- PD^α type ILC مطابق با شکل 15 سرعت همگرایی بهبودیافته و به 2 تکرار رسیده است. سیگنال کنترلی ورودی بدست آمده برای هر دو قانون یادگیری مرتبه کسری بهینه در شکل 16 نشان داده شده است. خروجی بدست آمده در تکرار 10 ام در شکل 17 قابل مشاهده است.

8- نتیجه گیری

در این مقاله با ترکیب محاسبات مرتبه کسری و کنترل کننده ILC، دو نوع از قانون‌های بروزرسانی D^α -type ILC و PD^α -type ILC مورد بررسی

1- Population Size

می‌شود و این امکان را به طراح می‌دهد که به پاسخ‌های با رفتار مناسب‌تر و نرم‌تر دست یابد و همچنین، می‌توان مشاهده نمود که قانون بروزرسانی PD^α -type ILC نسبت به قانون بروزرسانی D^α -type ILC دارای سرعت همگرایی بیشتری است که این عملکرد بهتر ناشی از بهره یادگیری اضافی است. k_p

9- مراجع

- [1] Y. Wang, F. Gao, F. J. Doyle, Survey on iterative learning control, repetitive control, and run-to-run control, *Journal of Process Control*, Vol. 19, No. 10, pp. 1589-1600, 2009.
- [2] S. Arimoto, S. Kawamura, F. Miyazaki, Bettering operation of robots by learning, *Journal of Robotic systems*, Vol. 1, No. 2, pp. 123-140, 1984.
- [3] W. Chen, M. Tomizuka, Dual-Stage Iterative Learning Control for MIMO Mismatched System With Application to Robots With Joint Elasticity, *Control Systems Technology, IEEE Transactions on*, Vol. 22, No. 4, pp. 1350-1361, 2014.
- [4] B. Zhang, D. Wang, Y. Ye, K. Zhou, Y. Wang, Cyclic pseudo-downsampled iterative learning control for high performance tracking, *Control Engineering Practice*, Vol. 17, No. 8, pp. 957-965, 2009.
- [5] J.-X. Xu, Y. Tan, *Linear and nonlinear iterative learning control*: Springer Berlin, 2003.
- [6] D. del Castillo Negrete, Fractional calculus: basic theory and applications (Part I), *Foro-Red-Mat: Revista electrónica de contenido matemático*, Vol. 16, No. 6, pp. 1, 2005.
- [7] A. Tustin, J. Allanson, J. Layton, R. Jakeways, The design of systems for automatic control of the position of massive objects, *Proceedings of the IEE-Part C: Monographs*, Vol. 105, No. 1S, pp. 1-57, 1958.
- [8] A. Oustaloup, *From fractality to non integer derivation: A fundamental idea for a new process control strategy*, in: *Analysis and optimization of systems*, Eds., pp. 53-64: Springer, 1988.
- [9] A. Oustaloup, X. Moreau, M. Nouillant, The CRONE suspension, *Control Engineering Practice*, Vol. 4, No. 8, pp. 1101-1108, 1996.
- [10] A. Oustaloup, J. Sabatier, P. Lanusse, From fractal robustness to CRONE control, *Fractional Calculus & Applied Analysis*, Vol. 2, No. 1, pp. 1-30, 1999.
- [11] I. Polubny, Fractional-order systems and $PI\lambda D^\mu$ controller, *IEEE Transactions on Automatic Control*, Vol. 44, pp. 208-214, 1999.
- [12] Y. Q. Chen, K. L. Moore, On D^α -type iterative learning control, in: *Proceeding of IEEE*, pp. 4451-4456, 2001.
- [13] D. Simon, Biogeography-based optimization, *Evolutionary Computation, IEEE Transactions on*, Vol. 12, No. 6, pp. 702-713, 2008.
- [14] D. Simon, A probabilistic analysis of a simplified biogeography-based optimization algorithm, *Evolutionary computation*, Vol. 19, No. 2, pp. 167-188, 2011.
- [15] N. Jerath, Implementation Of Biogeography Based Optimization on Image Restoration, *IJCACIT*, Vol. 1, No. 2, pp. 76-80, 2012.
- [16] G. Wang, L. Guo, H. Duan, L. Liu, H. Wang, Dynamic deployment of wireless sensor networks by biogeography based optimization algorithm, *Journal of Sensor and Actuator Networks*, Vol. 1, No. 2, pp. 86-96, 2012.
- [17] A. Bhattacharya, P. K. Chattopadhyay, Biogeography-based optimization for different economic load dispatch problems, *Power Systems, IEEE Transactions on*, Vol. 25, No. 2, pp. 1064-1077, 2010.
- [18] A. Bhattacharya, P. Chattopadhyay, Application of biogeography-based optimisation to solve different optimal power flow problems, *IET generation, transmission & distribution*, Vol. 5, No. 1, pp. 70-80, 2011.
- [19] J.-X. Xu, T. Heng Lee, H.-W. Zhang, Analysis and comparison of iterative learning control schemes, *Engineering Applications of Artificial Intelligence*, Vol. 17, No. 6, pp. 675-686, 2004.
- [20] P. I. Corke, B. Armstrong-Hélouvy, A meta-study of PUMA 560 dynamics: A critical appraisal of literature data, *Robotica*, Vol. 13, No. 03, pp. 253-258, 1995.
- [21] J.-J. E. Slotine, W. Li, *Applied nonlinear control*: Prentice-Hall Englewood Cliffs, NJ, 1991.
- [22] H. Ma, D. Simon, Blended biogeography-based optimization for constrained optimization, *Engineering Applications of Artificial Intelligence*, Vol. 24, No. 3, pp. 517-525, 2011.
- [23] M. Mittal, Comparison between BBO and Genetic Algorithm, *International Journal of Science, Engineering and Technology Research*, Vol. 2, No. 2, pp. 284-293, 2013.
- [24] Y. Chen, C. Wen, *Iterative learning control: convergence, robustness and applications*: Springer-Verlag, 1999.
- [25] D. Valério, J. S. da Costa, Ninteger: a non-integer control toolbox for MatLab, *Proceedings of Fractional Differentiation and its Applications*, Bordeaux, 2004.

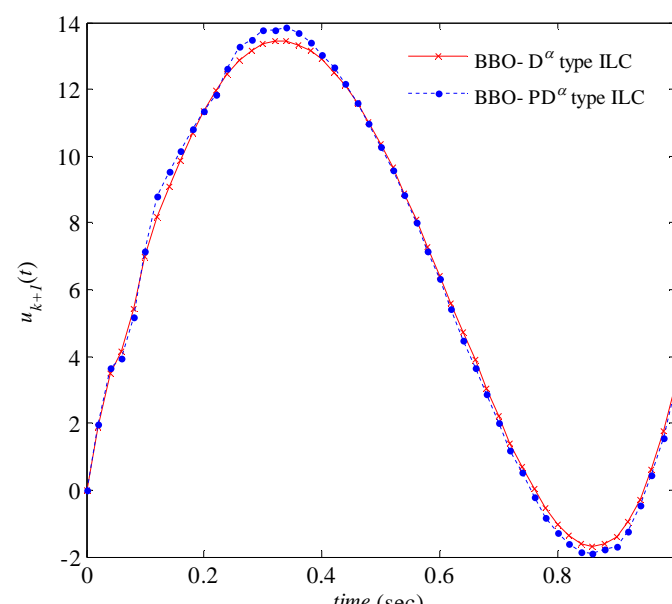


Fig. 16 The control signal for different values of α , by using updating laws BBO- D^α -type ILC and BBO- PD^α -type ILC for $k=10$.

شکل 16 نمودار سیگنال کنترلی ورودی برای مقادیر مختلف α ، با استفاده از قانون بروزرسانی BBO- D^α -type ILC و BBO- PD^α -type ILC برای $k = 10$

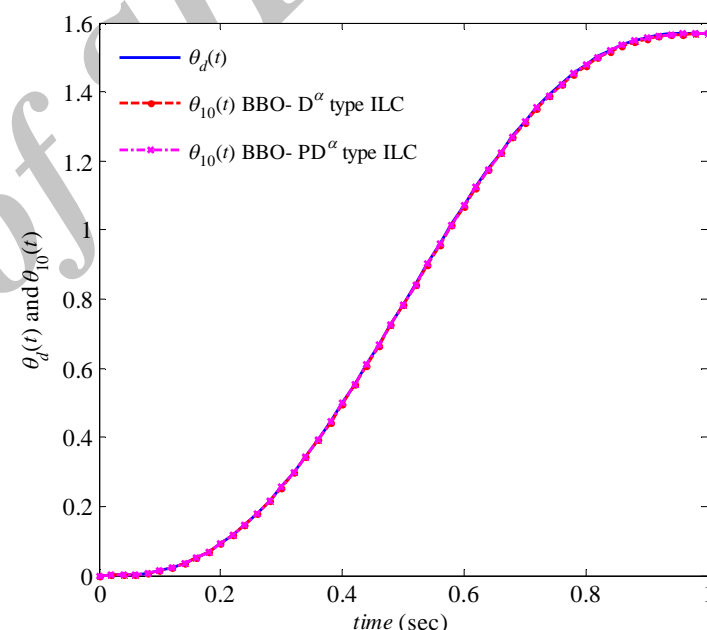


Fig. 17 Desired and the output trajectory of the robot arm of BBO- D^α -type ILC and BBO- PD^α -type ILC updating laws, for $k=10$ and different values of α .

شکل 17 نمودار خروجی مطلوب و خروجی واقعی بازوی ربات، با استفاده از قانون بروزرسانی BBO- D^α -type ILC و BBO- PD^α -type ILC برای $k = 10$ و مقادیر مختلف α .

خطی شده، پیاده‌سازی شده است و با تحلیل پاسخ‌های بدست آمده مشخص شده است که می‌توان با انتخاب بهینه FOILC سرعت همگرایی را افزایش داد لذا برای بهبود عملکرد سیستم کنترلی از الگوریتم بهینه‌سازی BBO برای انتخاب بهینه ضرایب FOILC استفاده شده است و نتایج بدست آمده از شبیه‌سازی بهبود سرعت همگرایی برای هر دو قانون یادگیری پیشنهاد شده در این مقاله را نشان می‌دهد. با توجه به نتایج بدست آمده در بخش شبیه‌سازی مشاهده می‌شود استفاده از کنترل کننده مرتبه کسری ILC پاسخ بهتری را نسبت به نوع متداول آن دارد، به‌طوریکه کسری بودن دینامیک کنترل کننده باعث افزایش درجه آزادی در انتخاب پارامترهای طراحی